

«Инновационные технологии»,
Таиланд (Бангкок, Паттайа), 20-28 февраля 2013 г.

Технические науки

ВРЕМЕННЫЕ ДИСТРИБУТИВНЫЕ АСИНХРОННЫЕ АВТОМАТЫ

Кудряшова Е.С., Хусаинов А.А.,
Лошманов А.Ю.

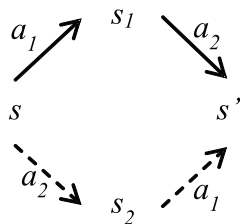
ФГБОУ ВПО «Комсомольский-на-Амуре
государственный технический университет»,
Комсомольск-на-Амуре, e-mail: naj198282@mail.ru

Дистрибутивным асинхронным автоматом называется пятерка $(S, s_0, E, I, Tran)$, состоящая из множеств S и E , элемента $s_0 \in S$, отношения $Tran \subseteq S \times E \times S$ и семейства антирефлексивных симметричных отношений $I \subseteq (I_s)_{s \in S}, I_s \subseteq E \times E$. Должны быть выполнены следующие условия:

- i Если $(s, a, s') \in Tran$ и $(s, a, s'') \in Tran$, то $s' = s''$
- ii Для любых

$$s \in S, (a_1, a_2) \in I_s, (s, a_1, s_1) \in Tran, \\ (s_1, a_2, s') \in Tran,$$

существует такое $s_2 \in S$, что $(s, a_2, s_2) \in Tran$ и $(s_2, a_1, s') \in Tran$ (см. рисунок).



Аксиома (ii) для дистрибутивных асинхронных автоматов

Всякую асинхронную систему $(S, s_0, E, I, Tran)$ можно рассматривать как дистрибутивный асинхронный автомат, полагая $I_s = I$ для всех $s \in S$.

Определим сеть Петри как пятерку $(P, T, pre, post, M_0)$, состоящую из конечных множеств P и T , функций $M_0: P \rightarrow \mathbb{N}$, $pre: T \rightarrow \mathbb{N}^P$, $post: T \rightarrow \mathbb{N}^P$. Здесь \mathbb{N}^P обозначает множество всех функций $P \rightarrow \mathbb{N}$. Элементы $p \in P$ называются местами, $t \in T$ – переходами, $M \in \mathbb{N}^P$ – маркировками, а M_0 – начальной маркировкой. Определим отношение порядка на \mathbb{N}^P , полагая $M \leq M'$, если для всех $p \in P$ верно $M(p) \leq M'(p)$. Сумму и разность функций определим как $(M \pm M')(p) = M(p) \pm M'(p)$. Для $M, M' \in \mathbb{N}^P$ и $t \in T$ запись $M \xrightarrow{t} M'$ будет означать, что выполнены условия $M \geq pre(t)$ и $M' = M - pre(t) + post(t)$. В этом случае будем говорить, что маркировка M' получена из M с помощью срабатывания перехода t .

$$(s_0, 0, 0) \xrightarrow{eft(a_1)} (s_0, eft(a_1), eft(a_1)) \xrightarrow{a_1} (s_1, \#, eft(a_1)) \xrightarrow{eft(a_2)-eft(a_1)} (s_1, \#, eft(a_2)) \xrightarrow{a_2} (s_3, \#, \#)$$

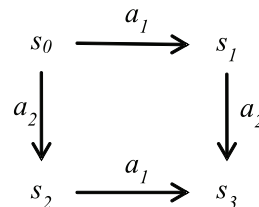
Пусть $(P, T, pre, post, M_0)$ – сеть Петри. Обозначим $t = \{p \in P: pre(t)(p) \neq 0\}$. Сеть Петри $(P, T, pre, post, M_0)$ определяет дистрибутивный асинхронный автомат $(S, s_0, E, I, Tran)$, $S = \mathbb{N}^P$, $E = T$, $s_0 = M_0$, $Tran = \{(M, t, M') \in \mathbb{N}^P \times T \times \mathbb{N}^P$

существует $M \xrightarrow{t} M'\}$, для которого $I_m = \{(t_1, t_2) \in T \times T: M \geq pre(t_1) \text{ и } t_1 \cap t_2 = \emptyset\}$.

Временная сеть Петри это кортеж (N, eft, lft) , где N – сеть Петри, $eft: T \rightarrow \mathbb{N}$, $lft: T \rightarrow \mathbb{N}$ – функции, описывающие соответственно раннее и позднее время доступности переходов, которые удовлетворяют ограничению $eft(t) \leq lft(t)$ для каждого $t \in T$. Обобщим определение временной сети Петри. Обозначим через $\mathbb{R}_{\geq 0}$ множество всех неотрицательных вещественных чисел. Временным дистрибутивным асинхронным автоматом (A, eft, lft) называется дистрибутивный асинхронный автомат $A = (S, s_0, E, I, Tran)$ вместе с парой функций $eft: E \rightarrow \mathbb{R}_{\geq 0}$, $lft: E \rightarrow \mathbb{R}_{\geq 0} \cup \{\infty\}$, удовлетворяющих для всех $a \in E$ неравенству $eft(a) \leq lft(a)$.

Введем временные состояния. Определим отображение $S \times E \rightarrow S \sqcup \{*\}$, полагая $s \cdot a = s'$, если $(s, a, s') \in Tran$. Если таких $s' \in S$ не существует, то положим $s \cdot a = *$. Временным состоянием временного дистрибутивного асинхронного автомата (A, eft, lft) называется пара (s, h) , состоящая из $s' \in mS$ и функции $h: E \rightarrow \mathbb{R}_{\geq 0} \cup \{\#\}$, таких что $s \cdot a \in S \Rightarrow h(a) \leq lft(a)$ и $s \cdot a = * \Rightarrow h(a) = \#$. Каждое действие $a \in E$ имеет «часы». В начале работы временное состояние равно (s_0, h_0) , где $h_0(a) = 0$, если существует $s' \in S$ и переход $s \xrightarrow{a} s'$.

Рассмотрим асинхронную систему, состоящую из двух независимых действий a_1 и a_2 и четырех состояний



для которых известны $eft(a_i)$ и $lft(a_i)$, $i \in \{1, 2\}$. Вычислим минимальное время выполнения операций, приводящих к состоянию s_3 . Временные состояния (s, h) будем рассматривать как тройки (s, τ_1, τ_2) . Пусть $eft(a_1) \leq eft(a_2)$. Тогда возможен следующий путь выполнения:

Легко видеть, что полученное время, равное сумме $eft(a_1) + eft(a_2) - eft(a_1)$ будет минимальным. Следовательно, в общем случае минимальное время будет равно $\max(eft(a_1), eft(a_2))$. Аналогично получим, что максимальное время выполнения действий будет равно $\max(lft(a_1), lft(a_2))$.

ПРИМЕНЕНИЕ ОЦЕНОК НА ОСНОВЕ ЭНТРОПИИ ДЛЯ СРАВНЕНИЯ КРИПТОСТОЙКОСТИ АЛГОРИТМОВ ШИФРОВАНИЯ

Сен Н.Д., Котляров В.П., Григорьев Я.Ю.

ФГБОУ ВПО «Комсомольский-на-Амуре государственный технический университет», Комсомольск-на-Амуре, e-mail: naj198282@mail.ru

Объектом исследования являются методы криптографических преобразований данных. Предмет исследования – криптостойкость. Исходные данные представлены в виде цветного изображения в формате gif, 400×296 пикселей. Алгоритмы шифрования – гаммирование, DES, TripleDES, Rijndael; режимы шифрования – ECB, CBC, CFB. Поиск энтропии исходных и зашифрованных данных осуществляется по классической формуле Шеннона [2]. Выявлены два подхода к определению энтропии изображений (RGB):

– энтропия изображения находится как сумма энтропии каналов изображения;

– энтропия изображения вычисляется в зависимости от входений цветов в изображение.

В первом подходе [3] для расчета энтропии изображения $H(X)$ необходимо определить энтропию каждого из каналов изображения. Пусть вектор C – канал изображения X , $C = \{R, G, B\}$. Тогда энтропия канала изображения определяется по формуле Шеннона:

$$H(C) = \sum_{i=1}^n p_i \log_2 \left(\frac{1}{p_i} \right),$$

где C – канал изображения X ; p_i – вероятность, определяемая как частное от деления количества появлений i -го байта ($i = 0...255$) в канале изображения C к числу байт канала C изображения X . Так как энтропия независимых источников равна сумме энтропии источников, то энтропия всего изображения $H(X)$ определяется как сумма энтропии каналов изображения:

$$H(X) = \sum H(C),$$

где C – канал изображения X , $C = \{R, G, B\}$.

В соответствии со вторым подходом энтропия изображения вычисляется по формуле Шеннона, однако вероятности определяются иным образом:

$$H(X) = \sum_{i=1}^n p_i \log_2 \left(\frac{1}{p_i} \right),$$

где X – изображение; p_i – вероятность, определяемая как частное от деления количества входений пикселя i -го цвета (RGB) к количеству пикселей изображения X .

Пусть $H_1(X)$ и $H_1(Y)$ – энтропии исходного и зашифрованного изображения, рассчитанные первым способом, а $H_2(X)$ и $H_2(Y)$ – вторым способом соответственно. Энтропия зашифрованного изображения, «зашумленного» ранее, рассчитанная первым и вторым способом – $H_{ga1}(Y)$ и $H_{ga2}(Y)$. Начальная энтропия $H_1(X) = 14,81$, $H_2(X) = 5,57$.

При использовании и первого, и второго способа расчета энтропии наблюдается схожая тенденция – шифрование в режиме ECB является наиболее «слабым», что подтверждается визуально. Наиболее «сильным» является шифрование DES, TripleDES, Rijndael в режиме CBC, при «зашумлении» исходных данных – Rijndael в режиме CBC. Энтропия $H_{ga1}(Y)$ и $H_{ga2}(Y)$ практически не меняется относительно $H_1(Y)$ и $H_2(Y)$, а в ряде случаев – значительно меньше. Таким образом, выполняемые преобразования над исходными данными существенно не добавляют вариации цвета изображения. Недостатком подхода является то, что энтропия не учитывает сложность формирования структуры данных и если изображение зашумлено, то оно всё равно формально обладает большим количеством информации [4]. Следовательно, оценивание на основе энтропии не является достаточным условием для принятия решений о стойкости криптопреобразований.

Список литературы

1. Вентцель Е.С. Теория вероятностей. – М., 2002.
2. Shannon, C. E A Mathematical Theory of Communication // Bell System Technical Journal, 1948.
3. Ковалев Д.С. Представление и сжатие данных // НГУ, спецкурс. – Режим доступа: <http://nsu.videosoft.org/2010/tasks/task1/>, свободный.
4. Бутенков С.А. энтропийный подход к оценке качества гранулирования многомерных данных // КИИ. – 2008.

О ПОРЯДКЕ, ПРАВИЛАХ И ОПЫТЕ СОСТАВЛЕНИЯ ТЕХНИЧЕСКИХ ЗАДАНИЯ ДЛЯ ПРОВЕДЕНИЯ АУКЦИОНОВ В ЭЛЕКТРОННОЙ ФОРМЕ НА ОСНОВЕ Ф3-94

Чудинов А.В., Трещёв И.А., Григорьева А.Л.

ФГБОУ ВПО «Комсомольский-на-Амуре государственный технический университет», Комсомольск-на-Амуре, e-mail: naj198282@mail.ru

Люди не так ясно понимали механизмы контроля за процессом проведения аукционов. Но со временем, как и везде, в этой области многие придумали обходные пути, для того, чтобы закупать товары и услуги у predeterminedного до аукциона поставщика. Придумывались хитрые технические задания, менялись цены в ходе вскрытия конвертов поставщиков, усложнялись условия осуществления конкурсов.